

محیط رسوی، کانی‌های رسی و دیاژنر سازند گورپی در برش نمونه و میدان نفتی زیلایی (چاه‌های شماره ۵ و ۸)

نوشته: محبوبه حسینی بزی^{*}، مرتضی هوشیار^{*} و هرمز قلاوند^{**}

^{*} دانشگاه شهید بهشتی تهران، دانشکده علوم زمین، تهران ایران

^{**} شرکت ملی نفت مناطق نفت خیز جنوب، اداره زمین‌شناسی بینانی، اهواز، ایران

تاریخ پذیرش: ۱۳۸۷/۰۷/۱۲ تاریخ دریافت: ۱۳۸۷/۰۴/۳۱

چکیده

مطالعات صحرایی، کلسی‌متی و بررسی‌های میکروسکوپی بر روی برش نمونه سازند گورپی و سنگنگاری خردۀای حفاری این سازند در میدان نفتی زیلایی (چاه‌های شماره ۵ و ۸) سبب تفکیک دو بخش کربناته و دو بخش دورگه (اغلب مارن و در تعداد محدودی از نمونه‌ها مارن رسی) در این سازند شد. با توجه به رخساره‌های میکروسکوپی موجود در بخش‌های کربناته، محیط دریاچه‌ای باز از یک رمک کربناته را می‌توان به این سازند نسبت داد. همچنین، به دلیل وجود گلوكونیت و فسفات در جازا و پیریت فرموبیدل اولیه برای محیط رسوی این سازند، شرایط احیایی را می‌توان متصور بود. تجزیه XRD و SEM نمونه‌های مربوط به مارن‌های رسی، گویای حضور کوارتز تخریبی در بخش مارن پایینی و افزون بر آن، کانی‌های رسی ایلیت، کلریت از منشأ تخریبی و اسمکیت از منشأ دیاژنری و به احتمال تخریبی، در بخش مارن بالایی است. حضور هم‌زمان این کانی‌ها و نبود کانولینیت بیانگر شرایط آب و هوایی معتدل، طی تهشیست مارن بالایی است. همچنین تجزیه و تحلیل نیمه کمی داده‌های XRD حاکی از افزایش اسمکیت و کاهش ایلیت به سمت رأس سازند است که می‌تواند ناشی از گرم شدن نسبی آب و هوای نیز ژرف‌تر شدن حوضه رسوی باشد. با توجه به ژرف بودن حوضه رسوی فرایندهای دیاژنری محدودی نیز در این سازند روی داده است که عمدت‌ترین آن سیمانی شدن، آهن دار شدن و شکستگی‌های موجود در سازند است. تصاویر SEM گویای حضور دیاژنری کانی اسمکیت در دو نمونه بالای محدوده زمانی کرتاسه بالایی است که می‌تواند ناشی از تبادل بین سیال‌های با کانی‌های مافیک و دیگر کانی‌های رسی مانند اسمکیت تخریبی، ایلیت و ... باشد. نبود اسمکیت دیاژنری در دو نمونه مربوط به پالتوسن، می‌تواند ناشی از تغییر در شرایط حوضه رسویگذاری در بالا و پایین مرز کرتاسه- ترشیروی باشد. بررسی میزان Th و K و همچنین نسبت این دو در لاگ NGS مربوط به چاه شماره ۸ میدان نفتی زیلایی بیانگر حضور کانی‌های رسی مونت‌موریلوئیت و ایلیت در این چاه است.

کلیدواژه‌ها: کانی‌های رسی، سازند گورپی، دیاژنر، تجزیه XRD، تجزیه SEM، لاگ NGS

۱- مقدمه

پنهان اینده، در تنگ پابده و در یال جنوب باختری کوه گورپی در شمال شهرستان لالی و با مختصات ۵۰° ۲۶' E: ۴۹° ۲۲' N: ۳۲° ۰۰' که با توجه به فیصل‌های موجود سن آن کرتاسه پسین- پالتوسن پیشین تعیین شده است (طبعی، ۱۳۷۲). همچنین برش‌های زیرسطحی در میدان نفتی زیلایی (چاه‌های شماره ۵ و ۸)، در زیر پنهان فروافتادگی دزفول و ۴۰ کیلومتری جنوب باختری برش نمونه قرار دارد. در کار حاضر، کانی‌های رسی، محیط رسوی و دیاژنر سازند گورپی در مقطع تیپ و در میدان زیلایی، مورد بررسی قرار می‌گیرد که می‌تواند در کنار مطالعه ای این نوع از مناطق دیگر زاگرس، در تعیین جغرافیای دیرینه حوضه زاگرس در زمان نهشت این سازند گام قابل توجهی محسوب شود.

۲- روش‌های مطالعاتی

برای انجام این تحقیق از روش‌های صحرایی و آزمایشگاهی کمک گرفته شد. در بخش صحرایی، نمونه برداری از سازند در فواصل دو متري و عمود بر امتداد لایه‌ها صورت گرفت. همچنین برای تعیین ستبرای سازند از ژاکوب استفاده شد که ستبرای سازند ۳۰۸ متر برآورد شد. بدین ترتیب ۱۵۴ نمونه از محل برش نمونه تهیه شد که پس از مطالعه آنها ستون سنگ‌شناسی برش نمونه رسم شد (شکل ۲). همچنین ۱۲۰ مقطع نازک از چاه‌های شماره ۵ و ۸ میدان زیلایی مورد مطالعه قرار گرفتند. بر حسب نیاز ۲۰ عدد از مقاطع نازک توسط محلول آلیزارین سرخ (Red-S) و فروسانید پتاسیم به منظور تشخیص کانی کلسیت از دولومیت و همچنین تشخیص آهن در سیمان کربناته در طی مراحل تدفین به روش (Dickson 1965) Rnگ آمیزی شد. سپس

بررسی دیاژنر، شناسایی و نام‌گذاری اجزای تشکیل‌دهنده مقاطعه مورد مطالعه در تعیین و بررسی ریزرساره و تفسیر محیط رسوی از اهمیت بسزایی برخوردار است (Flugel, 2004). از سوی دیگر کانی‌های رسی می‌توانند در تعیین محیط رسوی و تاریخچه دیاژنری رسوبات مؤثر باشند (Velde, 1992; Chamley, 1989; Weaver, 1989) آلمینیم آبدار با ساختمان لایه‌ای هستند و به عنوان بخشی از خانواده فیلوسیلیکات‌ها رده‌بندی می‌شوند (Tucker, 2001) از ویژگی‌های منحصر به فرد این کانی‌ها می‌توان به اندازه بسیار ریز و شکل گیری در شرایط سطحی (دگرسانی خاک‌ها و رسوبات) و شرایط زیرسطحی (دیاژنر و دگرسانی گرمابی) اشاره کرد (Meunier, 2005). با توجه به اندازه بسیار ریز کانی‌های رسی، مطالعه دقیق آنها تا دهه‌های اخیر امکان‌پذیر نبود. با پیشرفت فن آوری و به کارگیری ابزارهای دقیق، مطالعه و بررسی رس‌ها پیشرفت چشمگیری داشته است. در این تحقیق با توجه به اهداف مطالعه برای بررسی کانی‌های رسی از تجزیه پراش اشعه ایکس (XRD) و میکروسکوپ الکترونی SEM و لاگ NGS استفاده شده است. تجزیه پراش اشعه ایکس در تعیین دقیق نوع کانی‌های رسی و تجزیه نیمه کمی کانی‌های رسی از اهمیت بسزایی برخوردار است (Net et al., 2002; Moor & Reynolds, 1989) میکروسکوپ الکترونی روبشی (SEM) نیز در مطالعه ساختمان کانی‌های رسی کمک شایانی می‌نماید (Weaver, 1989). همچنین از لاگ NGS می‌توان در تعیین سنگ‌شناسی، تعیین کانی‌های رسی و تطابق چینه‌ای با چاه‌های دیگر استفاده کرد (Schnyder et al., 2006; Serra, 1984) برای اولین بار توسط James and Wynd (1965) شناسایی و نام‌گذاری شد، در زیر

Schlumberger (1988) تعیین شد.

۳- چینه‌شناسی سازند گورپی در برش سطحی مورد مطالعه

- در مطالعات صحرایی ستبرای سازند گورپی در حدود ۳۰۸ متر تعیین شد. مرز زیرین آن به صورت پیوسته بر روی سازند ایلام قرار دارد و مرز بالایی نیز به صورت پیوسته با حضور شیل‌های ارغوانی (مارن) از سازند پاپله متمازی می‌شود. ویژگی‌های واحدهای سنگ‌شناسی گورپی در برش نمونه به شرح زیر است (شکل ۲):
- بخش آهک رسی زیرین که ستبرای آن در حدود ۴۶ متر است. این آهک کرم رنگ بوده و در بخش‌های بالایی آن گرگهک‌های اکسید آهن قابل مشاهده است.
 - بخش مارن پایینی کرم رنگ که ستبرای آن در حدود ۸۴ متر است.
 - بخش آهک رسی میانی که ستبرای آن در حدود ۹۶ متر است که با تناوب مارن و آهک رسی شروع می‌شود. این واحد نسبت به بخش مارنی مقاوم‌تر است و توپوگرافی مرفوع تری را نسبت به مارن‌های پایین و بالایی خود تشکیل می‌دهد. این واحد را می‌توان معادل بخش آهکی امام حسن در نظر گرفت.
 - بخش مارن بالایی که ستبرای آن در حدود ۸۲ متر است. در ابتدای این واحد ۳۱ متر مارن‌های کرم رنگ قرار دارد که سپس رنگ آن تغییر کرده و به مارن‌های سیاه تبدیل می‌شود. علت این امر می‌تواند با افزایش مواد آلی در ارتباط باشد.

۴- ریزرساره و محیط رسوی سازند گورپی با استفاده از مطالعات سنگ‌نگاری

اجزای تشکیل دهنده سازند گورپی در دو بخش اجزای کربناته (تنها اجزای کربناته اسکلتی) و اجزای غیرکربناته دسته‌بندی شده‌اند. در مقاطع مورد مطالعه مهم‌ترین اجزای کربناته مورد شناسایی، روزن‌داران پلاتکتونیک بودند که قسمت عمده این اجزا را تشکیل می‌دهند (شکل ۳ a تا c). از نظر فراوانی استراکتها در مرحله بعدی قرار می‌گیرند (شکل ۳ d-e). در مطالعات میکروسکوپ الکترونی کوکولیت‌ها نیز مورد شناسایی قرار گرفتند (شکل ۳ f). علاوه بر اجزای کربناته، سازنده‌های غیرکربناته نیز بخش مهمی از سازند گورپی را تشکیل می‌دهند. این اجزا شامل گلوكوئیت، فسفات و اکسید آهن است (شکل ۳ a تا c). ذرات فسفات و گلوكوئیت تنها در بخش آهکی و مارنی پایینی و پیریت فرموموییدال به صورت فاز اولیه دیازنی در نمونه‌های مربوط به آهک امام حسن برش‌های مورد مطالعه مشاهده شدند که بیانگر وجود شرایط احیایی در محیط است.

در برش نمونه سازند گورپی، موقعیت مرز کرتاسه- ترشیری توسط گونه‌ای خاص از فسیل روزن‌دار، *Globigerine* sp.، که بیانگر ورود به محدوده زمانی پالئوسن است (Postuma, 1971)، ۱۴ متر زیر شیل ارغوانی تعیین شد. لازم به ذکر است که فسیل یادشده در حد گونه قابل شناسایی نیست (شکل ۴-d). بر اساس نوع و میزان اجزای تشکیل دهنده و جنس زمینه، سه ریزرساره (میکروفاسیس) پلاتکتونیک فرامینیفر اپکستون، پلاتکتونیک فرامینیفر اپکستون و پلاتکتونیک فرامینیفر اپکستون شناسایی شد (شکل ۵).

- **پلاتکتونیک فرامینیفر اپکستون (Pelanktonic foraminifera packstone):** در این ریزرساره اجزای اسکلتی که به طور غالب از نوع روزن‌داران پلاتکتونیک هستند، تجمع و فراوانی بالایی داشته و در یک زمینه میکرایتی قرار دارند. این ریزرساره به طور عمده در بخش آهک پایینی سازند دیده می‌شود و در واحد آهکی بالایی به صورت محدود قابل مشاهده است. از جمله روزن‌داران موجود در این ریزرساره می‌توان به گلوبیزنیلوئیدس اشاره کرد. در مقاطع زیرسطحی این ریزرساره به میزان خیلی کم دیده می‌شود. همچنین اکسید آهن به عنوان اجزای غیرکربناته حجره‌های

طی سنگ‌نگاری مقاطع نازک، بخش‌های کربناته سازند به روش (Dunham 1962) نام‌گذاری شدند. در نهایت رخساره میکروسکوپی بخش‌های کربناته، طبق رخساره‌های استاندارد معرفی شده توسط Flugel (2004) مشخص و با توجه به رخساره‌های موجود محیط رسوی سازند گورپی تعیین شد. همچنین با استفاده از روزن‌داران پلاتکتونیک موقعیت مرز کرتاسه- ترشیری برای انجام مطالعات بعدی مشخص شد.

برای انجام مطالعات کلسی‌متري ۴۸ نمونه از لایه‌ها و بخش‌هایی که در مطالعات صحرایی به عنوان شیل و مارن شناسایی شده بودند، انتخاب شدند. این مطالعات با هدف تعیین درجه هیریداسیون ستون سنگ‌چینه‌ای سازند و با استفاده از دستگاه کلسی‌متري برنارد در آزمایشگاه رسوپ‌شناسی داشتگاه شهید بهشتی تهران و به روی پیشنهادی (Allman & Lawrence 1972) صورت پذیرفت. بر اساس تقسیم‌بندی Pettijohn et al. (1975) نمونه‌های مطالعه شده نام‌گذاری شدند (جدول ۲). در تجزیه کلسی‌متري با استفاده از کلسی‌متري برنارد، میزان دی اکسید کربن حاصله از نیم گرم نمونه که با ۵ سی سی اسید کلریدریک (HCl) ۲ نرمال واکنش می‌دهد، اندازه‌گیری می‌شود؛ سپس با استفاده از فرمول زیر میزان کربنات کلسیم نمونه محاسبه و تعیین می‌شود:

$$\frac{\text{میزان } \text{CO}_2 \text{ قرائت شده برای نمونه} \times 100}{\text{میزان } \text{CO}_2 \text{ قرائت شده برای نمونه شاهد}} = \text{میزان کربنات نمونه}$$

برای تجزیه پراش اشعه ایکس، ۱۱ نمونه از بخش مارن پایینی و ۷ نمونه از بخش مارن بالایی) بر اساس نتایج تجزیه کلسی‌متري و با توجه به کمترین میزان کربنات موجود در آنها (مارن رسی) برای تجزیه XRD انتخاب شدند. نمونه‌ها در آزمایشگاه XRD سازمان زمین شناسی کشور مرکز تبریز، با دستگاه Simense-Diffractometr ۵۰۰ (sample preparation) صورت پذیرفت. روش‌های آماده سازی که برای نمونه‌ها پیش از تجزیه در نظر گرفته شد عبارت بودند از: حذف کربنات‌ها با استفاده از اسید استیک (Grassman and Milet, 1961)، جداسازی مواد آلی با استفاده از H₂O₂ (Kunze, 1965) و حذف آهن (Mehra and Jackson, 1960) (Whitting, 1965) (Tiemar 1957) (Tiemar حرارتی و تیمار اشباع اتیلن گلیکول (Tiemar, 1965) برای شناسایی بهتر کانی‌های رسی بر روی نمونه‌ها انجام گرفت. همچنین برای تجزیه و تحلیل نیمه کمی داده‌های حاصل از تجزیه XRD از فرمول پیشنهادی (Weir et al. 1975) از: $I_{Kaolinite / 2.5} + I_{Illite / 1} + I_{Smectite / 1} + I_{Chlorite / 2} = 100\%$ شد:

در این فرمول مطابق با بزرگ‌ترین پیک مریبوط به رکانی رسی نسبت به خط مبدأ است. پیک‌های حاصل از اشباع اتیلن گلیکول (Net et al., 2002; Khormali et al., 2005) برای شناسایی بهتر کانی‌های رسی بر این اندازه‌گیری و محاسبات بعدی انتخاب شدند. و در نهایت برای تجزیه SEM، چهار نمونه با توجه به میزان تنوع کانی موجود در آن (با توجه به مرز تعیین شده توسط مطالعات دیرینه‌شناسی دو نمونه از بالای مرز و دو نمونه از پایین مرز)، بر اساس نتایج XRD، برای بررسی در آزمایشگاه SEM داشتگاه تریت مدرس انتخاب شد. این نمونه‌ها ابتدا به وسیله دستگاه Sputter Coater-SCDOOS با عنصر طلا لایه نشانی شدند و سپس توسط میکروسکوپ الکترونی رویشی مدل 30 Philips-XL مورد مطالعه قرار گرفتند. به منظور بررسی و تعیین سنگ‌شناسی چاههای شماره ۵ و ۸ میدان نفتی زیلایی از خرده‌های حفاری و لاغه‌های نوترن، چگالی صوتی و NGS (lag ياد شده تنها برای چاه شماره ۸ موجود بود) استفاده شد. به دلیل وجود لاغ NGS برای چاه شماره ۸، کانی‌های رسی موجود در این چاه بر اساس میزان Th و K و نسبت این دو به هم و با استفاده از کراس‌پلات استاندارد معرفی شده توسط شرکت

و تنها پیک سیلیس به عنوان جزء آواری در آنها قابل مشاهده است (شکل a-7). در نمونه‌های مربوط به مارن بالای پیک‌های اسمکتیت، ایلیت، کلریت و سیلیس قابل مشاهده است (شکل b-7). تجزیه نیمه کمی داده‌های مربوط به تجزیه XRD Yianگر افزایش نسبی اسمکتیت و کاهش نسبی ایلیت به سمت رأس سازند گوربی است (جدول ۳ و شکل ۸). همچنین تغییرات کلریت روند مشخصی را نشان نمی‌دهد. به منظور مطالعات SEM چهار نمونه از قسمت مارن بالای سازند طوری انتخاب شد که دو نمونه مربوط به بخش‌های پایین تر از مرز کرتاسه-ترشیری (نمونه G-۲۹۰ و G-۲۹۴) و دو نمونه مربوط به بخش‌های بالاتر از مرز یادشده (نمونه G-۳۰۰ و G-۳۰۴) باشد. در نمونه‌های زیر مرز در کنار رس‌های تخربی فاقد ساختمان مشخص، کانی رسی اسمکتیت با ساختار کامل و واضح، با منشأ دیاژنزی مشاهده شد (شکل a-9) و در نمونه‌های بالای مرز یادشده تنها کانی‌های رسی به صورت جهت یافته و غیر قابل تفکیک و از منشأ تخربی دیده شد (شکل b-9). اسمکتیت درجا در پایین مرز کرتاسه-ترشیری و عدم حضور آن در نمونه‌های بالای مرز بیان شده می‌تواند به دنبال تغییر در شرایط حوضه رسوی صورت گرفته باشد که تاریخچه دیاژنسی را در پایین و بالای این مرز متفاوت نموده است. حضور اسمکتیت دیاژنسی در زیر مرز، تغییر شیب منحنی اسمکتیت در شکل ۸ را توجیه می‌نماید. بدین معنی که اسمکتیت تخربی در زیر مرز کمتر از آنچه که در منحنی دیده می‌شود، است و در واقع با حذف اسمکتیت دیاژنسی در زیر مرز روند افزایش اسمکتیت در مارن بالای کم و بیش یکنواخت می‌تواند فرض شود.

با استفاده از داده‌های چاهنگاری (لاگ گاما، لاگ NGS، لاگ صوتی، نمودار نوترون و چکالی) ستون سنگ‌شناسی چاه‌های شماره ۵ و ۸ میدان زیلایی رسم شد (شکل ۱۰). در لاگ گاما مربوط به هر دو چاه در بخش پایین سازند گوربی و مرز آن با سازند ایلام یک پیک شدید دیده می‌شود. همچنین در لاگ NGS مربوط به چاه شماره ۸ (لاگ مربوط به پیک اورانیم) نیز وضعیت مشابهی دیده می‌شود که به احتمال می‌تواند یانگر وجود ناپوستگی در این مرز باشد. در مرز بالای نیز با توجه به افزایش در میزان لاگ گاما که در نمودار مربوط به SGR قابل مشاهده است، می‌توان سازند گوربی را از سازند پایده تشکیک کرد.

با توجه به وجود لاگ NGS در چاه شماره ۸ برای تعیین کانی رسی این چاه، ابتدا از روی لاگ NGS مقادیر مربوط به Th و K و همچنین نسبت Th/K (Schlumberger, 1988) و نسبت عناصر اشاره شده به استفاده از کراس‌پلات استاندارد (1988) معرفی شده‌اند (محسنی، ۱۳۸۳؛ اسدی مهمندوستی، ۱۳۸۴؛ قلاوند و همکاران، ۱۳۸۵؛ غبیشاوی و همکاران، ۱۳۸۵؛ علی‌نژاد کردی، ۱۳۸۶)، می‌توان نهشت سازند گوربی را نیز در ارتباط با یک رمپ کربناته دانست که مدل شماتیک آن در شکل ۶ آورده شده است. بر اساس کمرنند رخساره‌ای (Flugel, 2004)، رخساره‌های شماره ۲ یانگر نهشت این سازند در بخش‌های رمپ میانی، رمپ خارجی و حوضه دریایی باز و رخساره ۳ مربوط به رمپ میانی و رمپ خارجی از یک رمپ کربناته است.

صفد بعضی از روزن‌داران را اشغال کرده است. از اجزاء اسکلتی دیگری که به میزان کمی در این ریزرساره وجود دارد، می‌توان به استراکتها اشاره کرد. این ریزرساره معادل رخساره شماره ۳ (RMF 3) فلوگل است که کم‌زرفاترین بخش سازند گوربی را در بر می‌گیرد.

پلانکتونیک‌فرامینیفرا و گستون (Pelektonic foraminifera wackestone): این ریزرساره دارای بیش از ۱۰ درصد اجزاء اسکلتی در یک زمینه میکرایتی است. از جمله روزن‌داران پلانکتونیک و کمی استراکت در این ریزرساره موجود در این رخساره می‌توان به گلوبیٹ‌نیلوئیدس، هتروهیلیکس و گلوبوترونکانا اشاره کرد. از جمله اجزاء غیر کربناته موجود در این رخساره می‌توان به گلوبونیت و قطعه‌های فسفاته (در آهک پایینی) و اکسید آهن به صورت پیریت فرموبییدال مربوط به فاز اولیه دیاژنسی دریایی (در آهک امام حسن) که در حجره‌های صدق برخی از روزن‌داران قابل مشاهده است، اشاره کرد؛ که همه موارد ذکر شده حاکی از شرایط احیا در هین نهشت آنها است. این ریزرساره در مقاطع سطحی به طور عمده در بخش آهکی بالایی (معادل بخش امام حسن) و همچنین به میزان کمتر در بخش آهکی پایینی دیده می‌شود. در مقاطع زیرسطحی نیز این رخساره عمده‌ترین ریزرساره موجود را به خود اختصاص داده است. روزن‌داران موجود در این ریزرساره از دونوع کارن دار و بدون کارن هستند. با توجه به کارن‌دار بودن یا نبودن روزن‌داران پلانکتونیک می‌توان تغییرات ژرف را برای رسوباتی که دارای روزن‌داران پلانکتونیک هستند، تعیین کرد (Keller et al., 1996; Hart, 1980). به این صورت که روزن‌داران دارای کارن مربوط به ژرفاهای بیشتر از ۱۰۰ متر و گونه‌های بدون کارن مربوط به ژرفاهای کمتر از ۱۰۰ متر هستند. روزن‌داران بخش آهک پایینی از نوع بدون کارن بوده و روزن‌داران مربوط به بخش آهک امام حسن به طور عمده از نوع کارن‌دار هستند. این ریزرساره نیز معادل رخساره شماره ۳ (RMF 3) فلوگل است.

پلانکتونیک‌فرامینیفرا مادستون (Pelanktonic foraminifera mudstone): در این ریزرساره اجزاء اسکلتی کمتر از ۱۰ درصد حجم نمونه را تشکیل داده و در یک زمینه میکرایتی شناور هستند. به طور کلی این ریزرساره ژرف‌ترین بخش کربناته سازند را تشکیل می‌دهد. اجزاء اسکلتی در این رخساره نیز روزن‌داران پلانکتونیک هستند. این ریزرساره معادل رخساره شماره ۲ (RMF 2) فلوگل است. شواهد سنگ‌نگاری و رخساره‌ای بخش‌های کربناته سازند گوربی در برخشهای مورد مطالعه بیانگر تشکیل این سازند در یک سکوی کربناته است. با توجه به این نکه که سازند گوربی در ناحیه مورد مطالعه در بین دو سازند ایلام و پایده قرار می‌گیرد و همچنین این نکته که هر دو سازند یاد شده در ناحیه خوزستان یک رمپ کربناته معرفی شده‌اند (محسنی، ۱۳۸۳؛ اسدی مهمندوستی، ۱۳۸۴؛ قلاوند و همکاران، ۱۳۸۵؛ غبیشاوی و همکاران، ۱۳۸۵؛ علی‌نژاد کردی، ۱۳۸۶)، می‌توان نهشت سازند گوربی را نیز در ارتباط با یک رمپ کربناته دانست که مدل شماتیک آن در شکل ۶ آورده شده است. بر اساس کمرنند رخساره‌ای (Flugel, 2004)، رخساره‌های شماره ۲ یانگر نهشت این سازند در بخش‌های رمپ میانی، رمپ خارجی و حوضه دریایی باز و رخساره ۳ مربوط به رمپ میانی و رمپ خارجی از یک رمپ کربناته است.

۵- مطالعه کانی‌های رسی موجود در بخش‌های مارنی سازند گوربی

با توجه به مطالعات کلسی‌متزی که بر روی نمونه‌های دور گه (کربناته-تخربی) سازند گوربی در برخ نمونه صورت گرفت، آنها بیشتر از نوع مارن و در برخی قسمت‌ها مارن رسی تعیین شد (جدول ۲). با توجه به نتایج XRD به دست آمده، نمونه‌های مربوط به مارن پایینی به طور تقریب عاری از هرگونه کانی رسی هستند

معمول توسط سیمان پرشده است. تخلخل حاصل از شکستگی در مراحل تأخیری (Late diagenesis) رخ داده که فرایند انحلال می‌تواند سبب گسترش آن و ایجاد تخلخل کانالی شود، که این فرایند در سازند مورد مطالعه بهوضوح قابل شناسایی است (شکل ۱۳-b).

در نهایت باید به پدیده آهن دار شدن در شرایط تأخیری به عنوان فرایند دیگر دیاژنزی در سازند گورپی اشاره کرد (شکل ۱۳-c). احیای سولفات‌ها که به شکل‌گیری پیریت تأخیری می‌شود، همراه با اکسید شدن این پیریت طی مراحل نهایی دیاژنز به آهن دار شدن این نهشته‌ها منجر شده است (El-ghali et al., 2006). این فرایند با توجه به این نکته که درون شکستگی‌ها را پرکرده است، جزء آخرین فرایندهای دیاژنسی است که در محیط دیاژنسی سازند گورپی روی داده است. اسمکتیت در جازا در رسوبات ژرف دریایی به طور معمول در طی دیاژنس اولی رسوبات تشکیل می‌شود (Garcia-Romero et al., 2005; Lee and Klein, 1986) با توجه به شکل‌های a-۹، رشد اسمکتیت در جازا به شکلی است که سیمانی شدن و فرایندهای تأخیری بر روی آن مشاهده نمی‌شود. بنابراین اولیه بودن اسمکتیت‌های در جازا تا حدی دور از ذهن به نظر می‌رسد. همچنین، اسمکتیت در جازا می‌تواند در رسوبات ژرف دریایی و بر اثر هوازدگی گرمابی سنگ‌های آتشفسانی ایجاد شود (Stuben et al., 2002; Belzungue-Segarra et al., 2002) که با توجه به عدم فعالیت‌های آتشفسانی در این محدوده زمانی در حوضه زاگرس، این مورد دور از ذهن به نظر می‌رسد.

Setti et al. (2004) نیز حضور اسمکتیت در جازا را به تبدلات بین سیال‌ها و کانی‌های مافیک و دیگر کانی‌های رسی مانند کلریت، ایلیت و اسمکتیت تخریبی نسبت می‌دهند. به این ترتیب با توجه به حضور ایلیت، کلریت و اسمکتیت با منشأ احتمالی تخریبی در نمونه‌ها، می‌توان تشکیل اسمکتیت در جازا را در ارتباط با تغییر و تبدیل کانی‌های رسی دیگر دانست.

۷- قطاب ستون‌های سنگ‌چینه‌ای

ستون سنگ‌چینه‌ای سازند گورپی در برش نمونه با برش‌های زیرسطحی مورد تعابیر قرار گرفت. این تعابیر بر اساس واحدهای مارنی و تناوب آنها با واحدهای آهکی صورت پذیرفت. در هر سه برش دو چرخه باشیخ و تعابیر است. این دو چرخه با نهشت آهک‌های ژرف شروع و به نهشت مارن ختم می‌شود. همان‌طور که در شکل ۱۴ مشاهده می‌شود، نسبت سترای مارن به سترای آهک در برش نمونه بیشتر از برش‌های زیرسطحی است که می‌تواند بیانگر ورود بیشتر مواد تخریبی در بخش‌های شمالی تر حوضه نسبت به بخش‌های جنوبی آن است. همچنین، کربنات‌ها نیز دارای سترای بیشتری در برش نمونه نسبت به برش‌های زیرسطحی هستند، که این خود بیانگر فرونشست بیشتر حوضه در بخش‌های شمالی آن بوده است. بر این اساس، ورود بیشتر مواد آواری و فرونشست بیشتر در بخش شمالی حوضه سبب شده است که سترای سازند گورپی در برش نمونه بیشتر برش‌های زیرسطحی باشد که می‌توان با توجه به زیر زون متفاوت برش نمونه (زون اینده) با برش‌های زیرسطحی (زون فروافتادگی دزفول شمالی) زمین ساخت را مؤثرترین عامل کنترل کننده این تغییر است. البته تأثیر تراکم متفاوت رسوبات طی دیاژنس نیز می‌تواند تا حدی بر تغییرات سترای این سازند مؤثر بوده باشد.

۸- نتیجه‌گیری

طی بررسی انجام شده بر روی مقاطع نازک تهیه شده از برش نمونه و دو برش زیر سطحی در میدان زیلایی (چاه‌های شماره ۵ و ۸) از سازند مارنی - کربناته گورپی،

مورد مطالعه میزان آب‌شویی (Leaching) در محیط رسویی کم و آب و هوا معتمد بوده است. این تفسیر با نتایج مطالعاتی که بر روی کانی‌های رسی مزوژوپیک و سنوزوپیک توالي‌های جنوب ایران که توسط Khormali et al. (2005) صورت گرفته است، همخوانی دارد. اسمکتیت در مقایسه با ایلیت و کلریت در بخش‌های ایلیتی به عنوان فرایند دیاژنسی (Adatte et al., 2002; Deconinck et al., 2005) توجه به افزایش اسمکتیت و کاهش نسبی ایلیت به سمت بخش‌های بالایی حوضه رسویی در برش مورد مطالعه، می‌توان چنین استنباط کرد که ژرفای حوضه رسویی به سمت بخش‌های بالایی سازند گورپی در حال افزایش است. میزان بالایی اسمکتیت در بخش‌های بالایی سازند گورپی در برش مورد مطالعه (کرتاسه بالایی - پالئوسن زیرین) را می‌توان به سطح بالای آب دریا و عبور شرایط گلخانه‌ای (Greenhouse) در این زمان (Deconinck et al., 2005) مرتبط دانست. بررسی تغییرات جهانی سطح آب دریا (Vail et al., 1977) نیز درستی ادعای فوق را تأیید می‌نماید. سنگ منشأ اسمکتیت در شرایط pH بالا و فعالیت زیاد H_4SO_4 و Mg^{2+} تشکیل می‌شود که این شرایط در خاک‌هایی که از سنگ منشأ آندزیتی و مافیک تنتجه شده‌اند، دیده می‌شود (Watanabe et al., 2006). همچنین اسمکتیت از هوازدگی شیمیایی سنگ‌هایی نظیر بازالت نیز نتیجه می‌شود (Robert et al., 2005). از طرفی کلریت نیز یک کانی رسی معمول در طی هوازدگی سنگ‌های آتشفسانی بازالتی و آندزیت‌های بازالتی و سنگ‌های دگرگونی است (Jeong et al., 2004). بنابراین حضور اسمکتیت و کلریت تخریبی در سازند گورپی می‌تواند شاهدی برای بازیک بودن سنگ منشأ این محدوده زمانی در زاگرس باشد.

۶- دیاژنس

با توجه به ژرف بودن حوضه نهشت سازند گورپی، فرایندهای دیاژنسی محدودی در آن روی داده، که به ترتیب رخداد عبارتند از: زیست آشفتگی، تشکیل پیریت فروموبیوال در داخل حجره‌های روزن‌داران، سیمانی شدن شامل سیمان کلسیت هم‌بعد و سیمان کلسیت رگه‌ای، انحلال و پیدایش تخلخل‌هایی از نوع درون دانه‌ای، شکستگی و کانالی. در نهایت نیز فرایند آهن دار شدن در درون شکستگی‌ها روی داده است (شکل ۱۲). پدیده زیست آشفتگی در بررسی‌های مورد مطالعه به عنوان فرایندی که به طور معمول کمی پس از فرایند رسویگذاری در محیط رخ می‌دهد (شکل a-۱۳)، در نظر گرفته شد. همچنین رشد پیریت فروموبیوال در حجره‌های خالی فسیل‌ها (گسترش شرایط نبود اکسیژن، در اثر احیای سولفات‌ها در محیط دریایی) (Tucker, 2001; Allen, 2002) که با سیمانی شدن دنبال شده است (شکل ۵-۴) نیز در همین زمان انجام شده است.

فرایند سیمانی شدن از جمله فرایندهایی است که به طور غالب در تمامی مراحل دیاژنسی در محیط رسویگذاری احتمال رویداد آن می‌رود و سبب کاهش تخلخل و تراوایی می‌شود. در مطالعه صورت گرفته این فرایند حجره‌های روزن‌داران و همچنین درون شکستگی‌ها را پر کرده است. با توجه به این نکته که در اصل شکستگی‌ها بعد از سخت شدن رخ می‌دهند و این نکته که شکستگی‌ها سیمان داخل حجره‌های روزن‌داران موجود در مقاطع مورد مطالعه را نیز قطع کرده‌اند، می‌توان چنین نتیجه گرفت که سیمانی شدن شکستگی‌ها به طور عمده در مراحل پس از سیمانی شدن حجره‌های درون روزن‌داران روزن‌داران صورت پذیرفته است (شکل b-۱۳). به عبارت دیگر، سیمان رگه‌ای پرکننده شکستگی‌ها نسبت به سیمان کلسیتی هم بعد درون حجره‌های روزن‌داران تأخیری تر است.

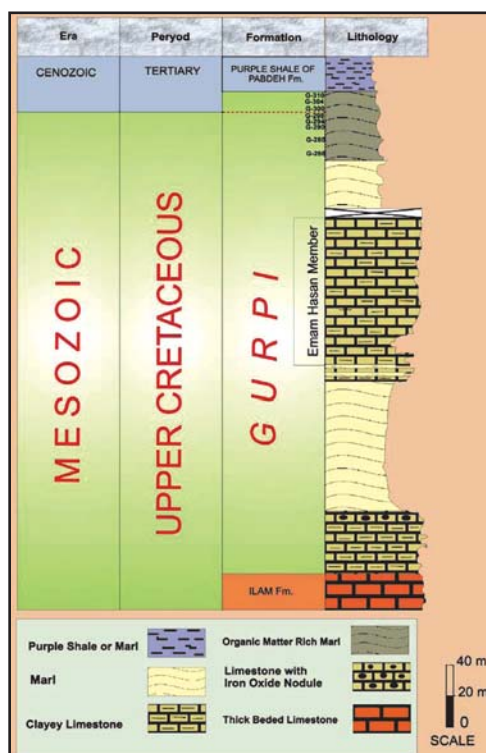
از دیگر فرایندهای دیاژنسی موجود انواع تخلخل‌های اولیه و ثانویه هستند. تخلخل درون دانه‌ای از انواع تخلخل‌های اولیه است (Tucker, 2001) که به طور

شدن در درون شکستگی‌ها رخ داده است. بررسی دیرینه‌شناسی و کانی‌های رسی دیاژنتری در مارن بالایی سازند گورپی منجر به تعیین مرز کرتاسه-ترشیری در برش نمونه شد که ۱۴ متر زیر شیل ارغوانی مربوط به سازند پابده قرار می‌گیرد. همچنین، تطابق ستون‌های مورد مطالعه زمین ساخت فعال تر حوضه را در سمت زیر زون ایده نسبت به زیر زون فروافتادگی دزفول شمالی نشان می‌دهد.

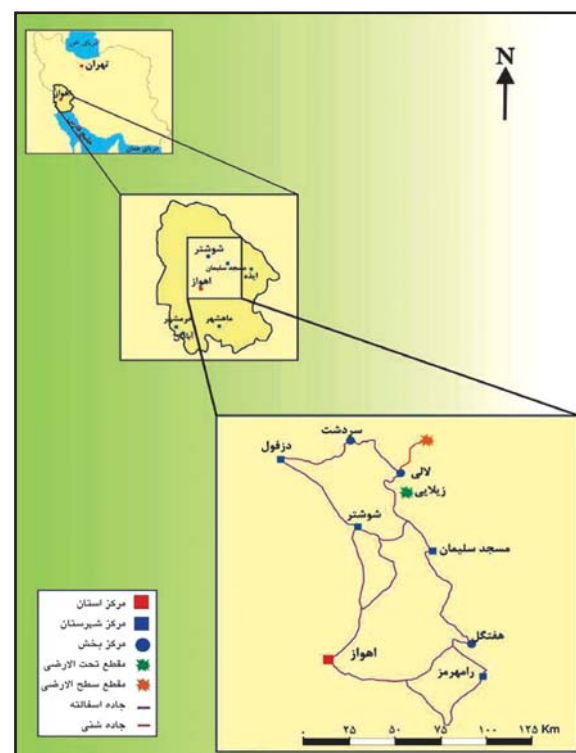
سپاسگزاری

از راهنمایی‌های ارزنده آقای دکتر مهرداد اسفندیاری در بررسی کانی‌های رسی صمیمانه قادردانی می‌نماییم. از پشتیبانی مالی شرکت ملی نفت مناطق نفت خیز جنوب و کمک‌های آقایان مهندس غبیشاوی و مهندس رحمانی، طی عملیات صحراوی، تشکر می‌نماییم. همچنین، از دانشگاه شهید بهشتی و آزمایشگاه‌های دانشکده علوم زمین سپاسگزار هستیم. در آخر، از نظرات داوران محترم این مقاله که در ارتقای سطح علمی آن ما را باری داد کمال تشکر را داریم.

سه ریزرهساره پلاتکتونیک فرامینی فرا پکستون، پلاتکتونیک فرامینی فرا و کستون و پلاتکتونیک فرامینی فرا مادستون شناسایی شد که حاکمی از نهشت این سازند در بخش میانی، خارجی و همچنین دریای باز یک رمپ کربناته در حوضه رسوی زاگرس است. بررسی کانی‌های رسی در این سازند، وجود اسماکتیت دیاژنتری و ایلیت کلریت و به احتمال اسماکتیت تخریبی را در این سازند نشان می‌دهد. تغییرهای نسی این کانی‌ها به سمت بالای سازند است. این تغییرها با تغییرهای جهانی سطح آب دریا نیز همخوانی دارد و بیانگر پیروی حوضه رسوی زاگرس از تغییرهای جهانی سطح آب دریا است. فرایندهای دیاژنتری محدودی در سازند گورپی مشاهده شد که می‌تواند حاصل ژرف بودن حوضه نهشت آن باشد و به ترتیب رویداد عبارتند از: زیست‌آشفتگی، تشکیل پیریت فروموبیوال در داخل حجرهای روزن‌داران، سیمانی شدن شامل سیمان کلسیت هم بعد و سیمان کلسیت رگه‌ای، انحلال و پیدایش تخلخل‌هایی از نوع درون دانه‌ای، شکستگی و کانالی. در نهایت نیز فرایند آهن دار

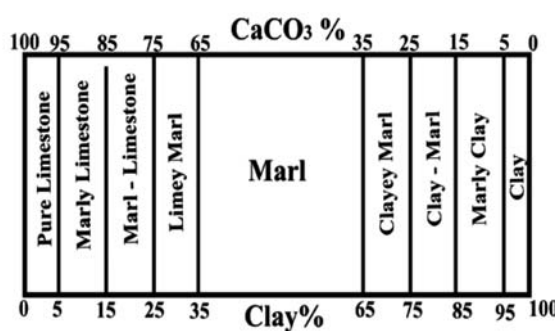


شکل ۲- ستون سنگ‌شناسی سازند گورپی در برش نمونه.



شکل ۱- راه‌های دسترسی به منطقه مورد مطالعه

جدول ۱- تقسیم‌بندی رس‌ها و مارن‌ها (Pettijohn et al., 1975)

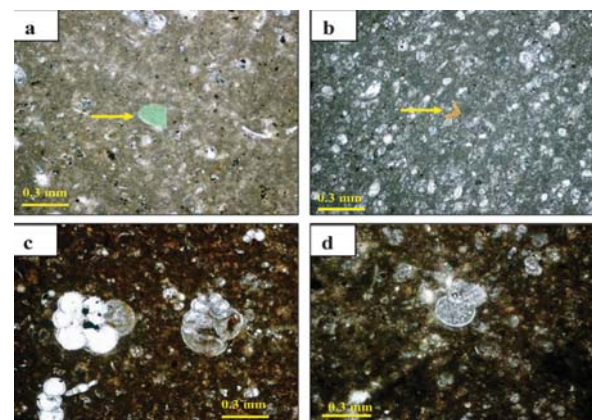
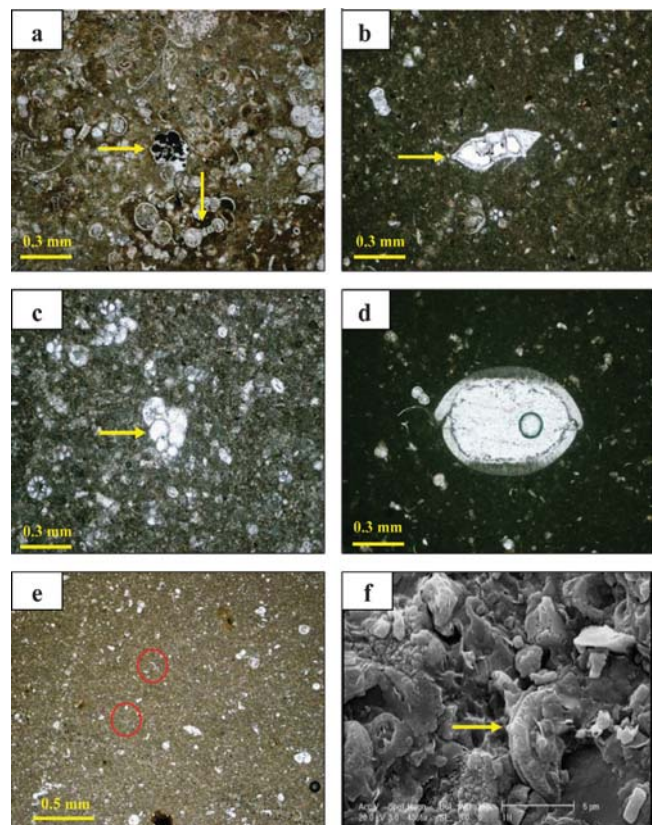


جدول ۲- نتایج تجزیه کلسی متری مربوط به نمونه‌های دور گه سازند گورپی.

ردیف	شماره نمونه	CaCO_3	درصد	لینتوژی	ردیف	شماره نمونه	CaCO_3	درصد	لینتوژی
۱	G-48	35.4	مارن	25	G-252	29	مارن رسی		
۲	G-50	35.7	مارن	26	G-258	43.1	مارن		
۳	G-52	37.7	مارن	27	G-266	36	مارن		
۴	G-54	37.7	مارن	28	G-270	41.7	مارن		
۵	G-60	37.4	مارن	29	G-272	40.1	مارن		
۶	G-66	42.1	مارن	30	G-274	35.7	مارن		
۷	G-82	36	مارن	31	G-276	40.4	مارن		
۸	G-88	37.7	مارن	32	G-278	35.7	مارن		
۹	G-94	37	مارن	33	G-280	34.4	مارن رسی		
۱۰	G-100	39.4	مارن	34	G-282	40.4	مارن		
۱۱	G-107	45.8	مارن	35	G-284	38.7	مارن		
۱۲	G-112	39	مارن	36	G-286	46.8	مارن		
۱۳	G-118	37.7	مارن	37	G-288	39	مارن		
۱۴	G-124	36.4	مارن	38	G-290	36.4	مارن		
۱۵	G-130	35.4	مارن	39	G-292	39.4	مارن		
۱۶	G-134	33	مارن رسی	40	G-294	33.3	مارن رسی		
۱۷	G-136	36.4	مارن	41	G-296	37	مارن		
۱۸	G-138	39.4	مارن	42	G-298	36.7	مارن		
۱۹	G-140	39	مارن	43	G-300	33.3	مارن رسی		
۲۰	G-142	40.7	مارن	44	G-302	40.4	مارن		
۲۱	G-228	40.7	مارن	45	G-304	35.7	مارن		
۲۲	G-230	37.4	مارن	46	G-308	38.4	مارن		
۲۳	G-240	41.1	مارن	47	G-310	31.3	مارن رسی		
۲۴	G-246	40.7	مارن	48	G-312	36.7	مارن		

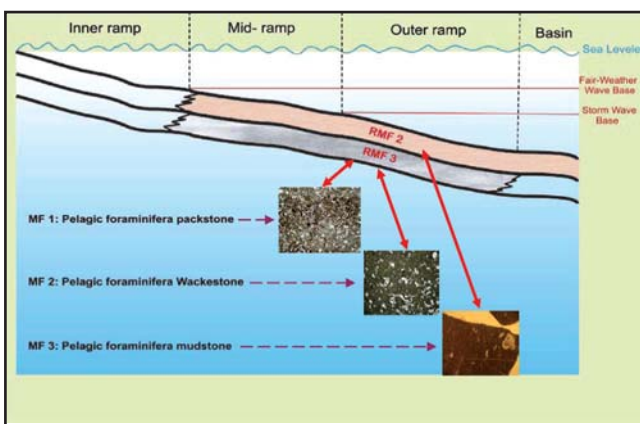
جدول ۳- نتایج تجزیه نیمه کمی کانی‌های رسی موجود در سازند گورپی.

شماره نمونه	ایلیت	کلریت	اسمکیت
G-310	31.17	16.88	51.94
G-304	32.34	18.25	49.43
G-300	34.5	18.93	44.65
G-294	36.05	19.37	44.62
G-290	37.63	18.14	44.23
G-280	37.31	17.68	45.02
G-266	38.74	17.04	44.22

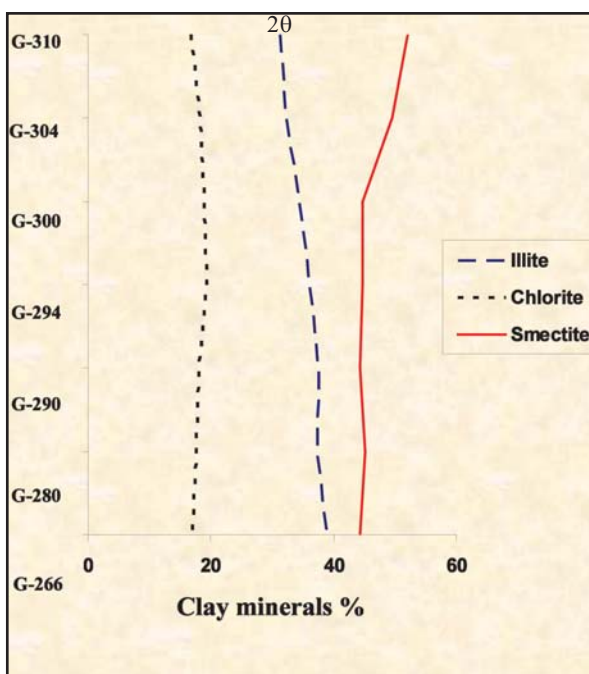


شکل ۴- اجزای غیرکربناته موجود در سازند گورپی. (a) گلوکونیت، (b) روزن‌دار پلاتکتونیک گلوبوترونکانان، (c) روزن‌دار پلاتکتونیک گلوبوپیلیدال، (d) روزن‌دار استراکودهای با دیواره سبز و نازک، (e) تفکیک مرز کرتاسه-ترشیری، (f) تصویر SEM از یک کوکولیت.

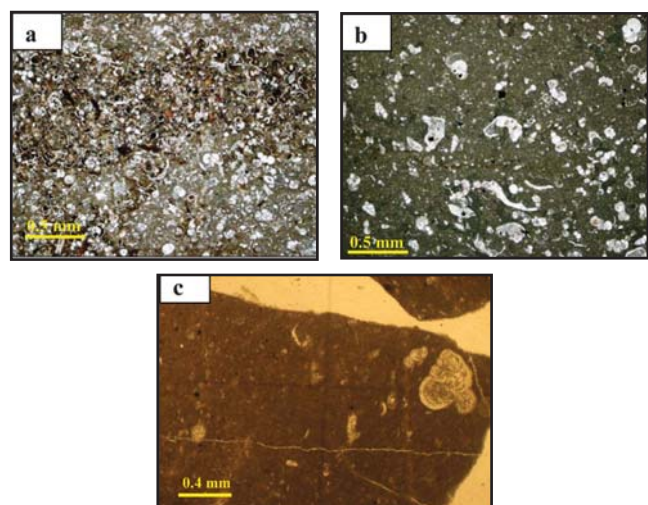
شکل ۳- (a) روزن‌داران پلاتکتونیک هدبگلا و گلوبیترینولییدس. (b) روزن‌دار پلاتکتونیک گلوبوترونکانان. (c) روزن‌دار پلاتکتونیک هتروهلهیکس. (d و e) استراکودهای با دیواره سبز و نازک. (F) تصویر SEM از یک کوکولیت.



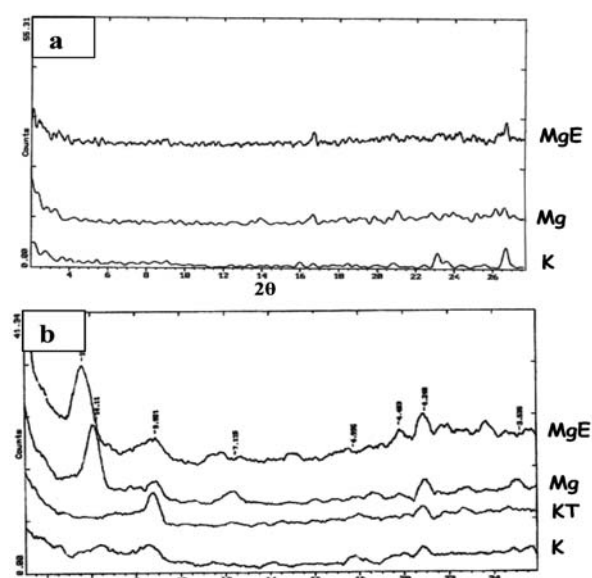
شکل ۶- مدل رسوی سازند گوربی در برش نمونه. رخساره شماره ۱ و ۲ مربوط به کمریند شماره ۳(رمپ میانی و رمپ خارجی)، رخساره شماره ۳ مربوط به کمریند شماره ۲(رمپ میانی، رمپ خارجی و حوضه ژرف) در مدل ترسیم شده مقایس رعایت نشده است.



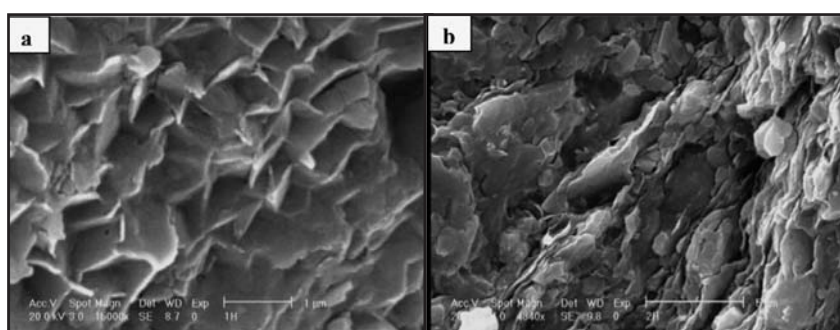
شکل ۷- نمودار مربوط به درصد کانی های رسی موجود در بخش مارن بالایی.



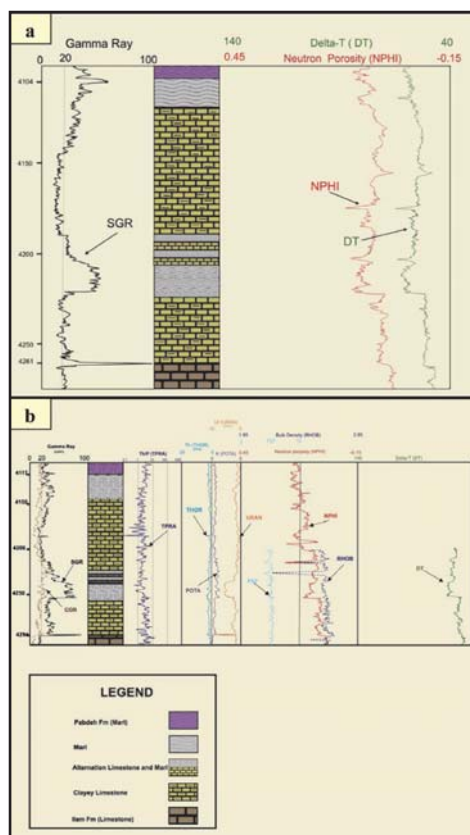
شکل ۵- ریز رخساره های موجود در سازند گوربی. (a) پلانکتونیک فرامینیفرا، (b) پلانکتونیک فرامینیفرا و کستون، (c) پلانکتونیک فرامینیفرا مادستون



شکل ۷- دو نمونه از نتایج XRD مربوط به مارن های سازند گوربی. (a) نمونه مربوط به مارن پایینی (b) نمونه مربوط به مارن بالایی



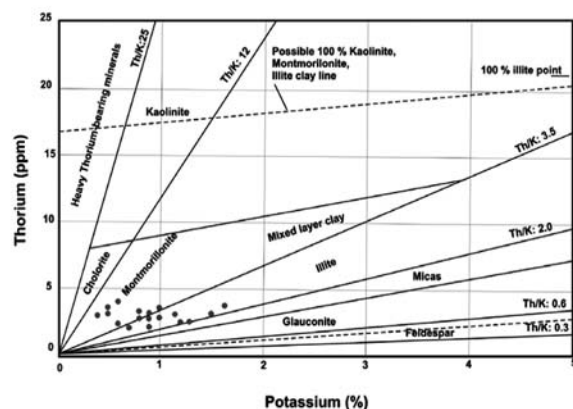
شکل ۹- تصاویر میکروسکوپ الکترونی مربوط به نمونه های مطالعه شده. (a) کانی رسی اسمکتیت، (b) کانی رسی یافته غیر قابل تفکیک با منشاء تخریبی.



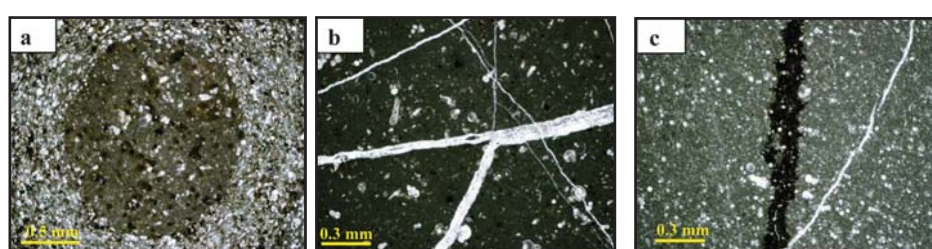
شکل ۱۰- ترسیم ستون شناسی چاه‌های شماره ۵ (a) و ۸ (b) با استفاده از مقاطع نازک و داده‌های چاه‌نگاری.

تاخیری	افزایش زمان	اولیه	فرایندهای دیاژنری
-----	-----		آشفته‌گی زیستی
-----	-----		آهن‌دار شدن (رشد پپروپت فرومیونیدال)
-----	-----		سیمانی شدن
-----	-----	• سیمان کلیست همراه	
-----	-----	• سیمان کلیست رگهای	
-----	-----	تخلل	
-----	-----	• تخلخل درون دانهای	
-----	-----	• تخلخل شکستگی	
-----	-----	• تخلخل گانالی	
-----	-----		آهن‌دار شدن (پرشدن شکستگی‌ها)

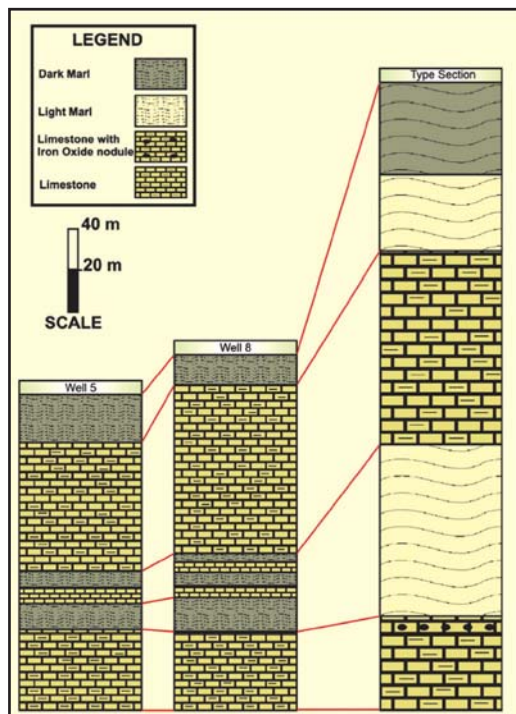
شکل ۱۲- توالی دیاژنری سازند گورپی در برش‌های مورد مطالعه.



شکل ۱۱- تعیین نوع کانی رسی موجود در چاه شماره ۸ با استفاده از کراس پلات استاندارد.



شکل ۱۳- برخی از فرایندهای دیاژنری سازند گورپی. (a) زیست آشفته‌گی. (B) شکستگی، انحلال و سیمانی شدن درون شکستگی‌ها. (C) آهن‌دار شدن درون شکستگی‌ها.



شکل ۱۴- تطابق ستون سنگ‌شناسی برش نمونه با ستون سنگ‌شناسی جاه‌های مورد مطالعه.

کتابنگاری

اسدی مهمندوستی، ا.، ۱۳۸۴- ژئوشیمی و دیاژنر سازند ایلام در میدان‌نفتی آب تیمور و منصوری و رخمنون تنگ رشدید کوه پیون، منطقه ایذه، رساله کارشناسی ارشد زمین‌شناسی، گرایش رسوب‌شناسی و سنگ‌شناسی روسوی، دانشکده علوم زمین، دانشگاه شهید بهشتی تهران، ۱۹۰ صفحه.

علی‌تزاد کردی، ر.، ۱۳۸۶- سنگ‌شناسی روسوی شیل و مارن‌های سازند پابده در مقطع تیپ و در میدان نفتی کوپال (چاه‌های شماره ۱۲ و ۳۸)، رساله کارشناسی ارشد زمین‌شناسی، گرایش رسوب‌شناسی و سنگ‌های روسوی، دانشکده علوم زمین، دانشگاه شهید بهشتی تهران، ۱۴۱ صفحه.

غیشاوی، ع.، رحمانی، ع.، چهارده‌چریک، غ.ر. و ناصری، ن.، ۱۳۸۵- چینه‌نگاری سکانسی و محیط روسوی سازند‌های ایلام و سروک در میدان نفتی آب تیمور، مجموعه مقالات بیست و پنجمین گردهمایی علوم زمین، تهران، صفحه ۳۱۰.

فلاوند، ه.، شمیرانی، ا.، صادقی، ع.، آدابی، ح. و امینی، ع.، ۱۳۸۵- مطالعه میکروفاسیس‌ها و محیط روسوی سازند ایلام، مجموعه مقالات بیست و پنجمین گردهمایی علوم زمین، تهران، صفحه ۳۰۳.

محسنی، ح.، ۱۳۸۲- محیط روسوی و دیاژنر سازند پابده در فروافتادگی دزفول شمالی، رساله دکترا زمین‌شناسی، گرایش رسوب‌شناسی و سنگ‌شناسی روسوی، دانشکده علوم، دانشگاه تهران، ۱۸۵ صفحه.

مطیعی، ه.، ۱۳۷۲- زمین‌شناسی ایران، چینه‌شناسی زاگرس، طرح تدوین کتاب، سازمان زمین‌شناسی و اکتشافات معدنی کشور، ۵۳۶ صفحه.

References

- Adatte, T., Keller, G., Stinnesbeck, W., 2002- Late Cretaceous to early Paleocene climate and sea-level fluctuations: the Tunisian record. Palaeogeography, Palaeoclimatology, Palaeoecology, 178, pp.165-196.
- Allen, R.E., 2002- Role of diffusion- precipitation reactions in authigenic pyritization. Chemical Geology. 182, pp. 461-472.
- Allman, M., Lawrence, D.F., 1972- Geological Laboratory Techniques. Blandford, London, 335 p.
- Belzunce-Segarra, M.J., Wilson, M.J., Fraser, A.R., Lachowski, E., Duthie, D.M.L., 2002- Clay mineralogy of Galician coastal and oceanic surface sediments: contributions from terrigenous and authigenic source. Clay Minerals, 37, pp. 23-37.
- Chamley, H., 1989- Clay sedimentology: Springer-Verlag Berlin Heidelberg New York, 623 p.
- Deconink, J.F., Amedro, F., Baudin, F., Godet, A., Pellenard, P., Robaszynski, F., Zimmerlin, I., 2005- Late Cretaceous palaeoenvironments expressed by the clay mineralogy of Cenomanian-Campanian chalks from the east of the Paris Basin. Journal of Cretaceous Research, 26, pp. 171-179.
- Dickson, J.A.D., 1965- A modified staining technique for carbonates in thin section. Nature, 205, pp. 587.
- Dunham, R.J., 1962- Classification of carbonate rocks according to depositional texture. American Association of Petroleum Geologists, Memoir 1, pp. 108-121.
- El-ghali, M.A.K., Mansurbeg, H., Sadoon, M.I. Al-Asm and Ramseyer, K., 2006- Distribution of diagenetic alterations in glaciogenic sandstones within a depositional facies and sequence stratigraphic framework: evidence from Upper Ordovician of Mursuq basin, SW Libya. Sedimentary Geology. 190. 323-351.
- Flügel, E., 2004- Microfacies of Carbonate Rocks, Analysis, Interpretation and Application, Springer-Verlag Berlin Heidelberg. 976 p.
- Garcia-Romero, E., Vegas, J., Baldonedo, J.L., Marfil, R., 2005- Clay minerals as alteration product in basaltic volcaniclastic deposit of La Palma (Canary

- Islands, Spain). *Sedimentary Geology*, 174, pp. 237-253.
- Grassman, R.B. and Milet, J.C., 1961- Carbonate removal from soils by a modification of the acetate buffer method: *Journal of Soil*, 25, pp. 325-326.
- Hart, M.B., 1980- A water depth model for the evolution of the planktonic Foraminiferida. *Nature*, 286, pp. 252-254.
- James, G.A., Wynd, G.G., 1965- Stratigraphic Nomenclature of Iranian Oil Consortium Agreement Area, *American Association of Petroleum Geologists*, 49, pp. 2182-2245.
- Jeong, G.Y., Yoon, H.I., Lee, S.Y., 2004- Chemistry and microstructures of clay particles in smectite-rich shelf sediments, South Shetlands, Antarctica. *Marine Geology*, 209, pp. 19-30.
- Keller, G., Li, L., MacLeod, N., 1996- The Cretaceous/ Tertiary boundary stratotype section at Elkef, Tunisia: How catastrophic was the mass extinction? *Palaeogeography, Palaeoclimatology, Palaeoecology*, 19, pp. 221-254.
- Khormali, F., Abtahi, A., Owliae, H.R., 2005- Late Mesozoic- Cenozoic clay of southern Iran and their palaeoclimatic implications. *Clay Minerals*, 40, pp. 191-203.
- Kunze, C.W., 1965- Pretreatment for mineralogical analysis, in: *Methods of soil analysis*, Black C.A et al. Amer. Soc. of Agronomy mc. pp. 568-577.
- Lee, Y.I., Klein, G.D., 1986- Diagenesis of sandstone in the back- arc basins of the western Pacific Ocean. *Sedimentology*, 33, pp. 651-675.
- Li, L., Keller, G., Adatte, T., Stennesbeck, W., 2000- Late Cretaceous sea Level change in Tunisia: A multi-disciplinary approach. *Journal of Geological Society of London*, 157, pp. 447-458.
- Mehra, O.P., Jackson, M.L., 1960- Iron oxid removal from soils and clay by a dithionitic – citrate system buffered with bicarbonate. *Clays and Clay Minerals*, 7, pp. 313-325.
- Meunier, A., 2005- *Clays*: Springer Berlin Heidelberg New York, 472 p.
- Mondshine, T.C., Kercheville, J.D., 1966- Successful Gumbo-shale Drilling, *Journal of The Oil and Gas*, 64, pp. 194.
- Moore, D., Reynolds, R.C., 1989- X-Ray diffraction and the identification and analysis of Clay minerals. New York, 332p.
- Net, I.L., Alonso, M.S., Limarino, C.O., 2002- Source rock and environmental control on clay mineral associations, Lower Section of Paganzo Group (Carboniferous), Northwest Argentina. *Sedimentary Geology*, 152, pp. 183-199.
- Ortega-Huertas, M., Martinez-Ruiz, F., Palomo, I., Chamley, H., 2002- Review of the mineralogy of the Cretaceous-Tertiary boundary clay: Evidence supporting a major extraterrestrial catastrophic event. *Clay Minerals*, 37, pp. 395-411.
- Pardo, A., Adatte, T., Keller, G., Oberhansli, H., 1999- Paleoenvironmental change across the Cretaceous-Tertiary boundary at Koshak, Kazakhstan, based on planktic foraminifera and clay mineralogy. *Palaeogeography, Palaeoclimatology, Palaeoecology*, 154, pp. 247-273.
- Pettijohn, F.J., Potter, P.E., Siever, R., 1975- *Sedimentary Rocks* Harper and Row, New York. 628 p.
- Postuma, J.A., 1971- *Manual of Planktonic Foraminifera*: Amsterdam (Elsevier), 420pp.
- Robert, C., Diester-Haass, L., Paturel, J., 2005- Clay mineral assemblages, siliciclastic input and paleoproductivity at ODP Site 1085 off Southwest: A late Miocene-early Pliocene history of Orange river discharges and Benguela current activity, and their relation to global sea level change. *Marine Geology*, 216, pp. 221-238.
- Schlumberger, 1988- Log interpretation charts, Houston, Texas.
- Schnyder, J., Ruffeii, A., Deconinck, J.F., Baudin, F., 2006- Conjunctive use of spectral gamma-ray Logs and clay mineralogy in defining late Jurassic-early Cretaceous palaeoclimate change(Dorset, U.K.).*Palaeogeography, Palaeoclimatology, Palaeoecology*, 229, pp. 303-320.
- Serra, O., 1984- Fundamentals of well-log interpretation, 1. The acquisition of logging data, Elsvier Sience publisher B.V.
- Setti, M., Marinoni, L., Lopez-galindo, A., 2004- Mineralogical and geochemical characteristic (major, minor, trace elements and REE) of detrial and authigenic clay minerals in a Cenozoic sequence from Ross Sea, Antarctica. *Clay Minerals*, 39, pp. 405-421.
- Skelton, P., 2003- *The cretaceous world*. Cambridge University Press, 360 p.
- Stuben, D., Kramar, U., Berner, Z., Stennesbeck, W., Keller, G., Adatte, T., 2002- Trace elements, stable isotopes, and mineralogy the Elles II K-T boundary section in Tunisia: indications sea level fluctuations and primary productivity. *Palaeogeography, Palaeoclimatology, Palaeoecology*, 178, pp. 321-345.
- Tucker, M.E., 2001- *Sedimentary Petrology: an introduction to the origion of sedimentary rocks*: Blackwell, Scientific Publication, London, 260 p.
- Vail, P.R., Mitchem, R.M., Thmpson, S., 1977- Seismic stratigraphy and global change of sea-level. In: C. E. Payton (Ed.), *Seismic stratigraphy-applications to hydrocarbon exploration*. American Association of Petroleum Geologist, Memoir 26, pp. 83-97.
- Velde, B., 1992- Introduction to clay mineral. Chapman & Hall, New York, 198 p.
- Walker, G.F., 1957- On the differentiation of vermiculites and smectites. *Clays and Clay minerals*, 3, pp. 154-163.
- Watanaba, T., Shinya, F., Kosaki, T., 2006- Clay mineralogy and relationship to soil solution composition soils from different weathering environments of humid4 Asia: Japan, Thailand and Indonesia. *Geoderma*, 136, pp. 51-63.
- Weaver, C.E., 1989- *Clays, Muds, and Shales: Development in Sedimentology* 44; Elsevier, Scientific Publication, 819 p.
- Weir, D.L., Ormerod, E.C., Ei-Mansey, M.L., 1975- Clay mineralogy of sediment of western Nile Delta: *Journal of clay mineralogy* 10, pp. 369-386.
- Whitting, L.D., 1965- X-Ray diffraction techniques for mineral identification and mineralogical composition. In: *Methods of Soil Analysis*, Black C.A. et al, Amer. Soc. of Agronomy mc. Pub Madison, Wiscansin. USA, pp. 671-698.

Use of Engineering Geological Maps in Land Use Planning; A Case Study of Chabahar Area

By: M. Hashemi*, M.R. Nikudel* & N. Hafezi Moghaddas**

*Department of Engineering Geology, Faculty of Basic Science, Tarbiat Modares University, Tehran, Iran

**Department of Geology, Faculty of Earth Science, Shahrood Industrial University, Shahrood, Iran

Received: 2007 March 04

Accepted: 2009 January 26

Abstract

Engineering geology mapping has been central to engineering geology research since it is objectives that the project continues to develop and investigate methods for obtaining data and "mapping" this data to be suitable for the needs of civil engineering and environmental assessments. Engineering geological maps of Chabahar area (at a scale of 1:25,000) was prepared to provide engineering geological information as an aid in land use planning. Study area consists of tertiary deposits and studied for assessment of some parameters such as foundation condition, excavation condition, waste disposal condition, engineering geological problems and environmental problems. Data collection was done through field investigations, inclusive borehole boring, systematic sampling and field and laboratory tests. Finally, results are shown in applied geological maps.

Keywords: Engineering geological maps; Foundation condition; Excavation condition; Waste disposal condition; Geoenvironmental problems; Chabahar area.

For Persian Version see pages 103 to 110

E-mail: nikudelm@yahoo.com

Sedimentary Environment, Clay Minerals and Diagenesis of Pabdeh Formation in its Type Section and Ziloe oil Field (well No. 5 and well No. 8)

By: M. Hosseini-Barzi*, M. Houshyar* & H. Ghalavand**

* Faculty of Earth Sciences, Shahid Beheshti University, Tehran, Iran.

** National Iranian South Oil Company, Department of Geology, Ahvaz, Iran.

Received: 2008 July 21

Accepted: 2009 October 04

Abstract

Field study, calcimetry and petrography of thin sections from Gurpi type section and petrography of cuttings from Ziloe oil field (well No. 5 and well No. 8) represent two carbonate members and two hybrid (mostly marl and in a few samples clay marl) members in these deposits. Microfacies analysis of the carbonate members implies 2 microfacies belong to open sea of a carbonate ramp model. Moreover, authigenic glauconite and phosphate and frambooidal pyrite propose deposition of these sediments in an anoxic condition. XRD and SEM analysis of marl members provide existence of illite and chlorite as clay minerals by certain detrital source and smectite by diagenetic and probability detrital source in the upper marl member and existence of quartz in lower member. Coexistence of these minerals proposes a temperate climate during deposition of the upper marl member. Semi-quantitative analysis of XRD data represents descending trend for relative amounts of illite and ascending trend for smectite during deposition of upper marl member of Gurpi Formation which implies deepening of the sedimentary basin and relative climate warming. The diagenetic processes in these deep marine deposits are limited to cementation, illitization, hematization and fracturing. Moreover, studying SEM images evident autogenetic origin of smectite in two samples from upper cretaceous (under K/T boundary) which can form during fluid exchange with mafic minerals and/or detrital clay minerals such as detrital smectite, illite. The absence of diagenetic smectite in two samples from Paleocene (over K/T boundary) can be related to change in basin condition in Zagros basin, this period of time. Also, studying relative abundance of K and Th in NGS logs of well number 8 in Ziloe oil field shows that clay minerals in this formation are illite and montmorillonite.

Key words: Clay minerals, Gurpi Formation, Digenesis, XRD, SEM, NGS log

For Persian Version see pages 111 to 120

E-mail: hosseini@khayam.ut.ac.ir

Structural Analysis of Hired Mining Area and its Relation with Gold Mineralization using Aeromagnetic Data, Satellite Images and Field Studies, South of Birjand, Iran

By: M.A.Ghorbani*, M. Mohajel**, M. Pourkermani***, M. Alimohammadi* & H. Kheyrollahi****

*Faculty of Geosciences, Shahid Beheshti University, Tehran, Iran

******Department of Geology, Tarbiat Modares University, Tehran, Iran

***Islamic Azad University, North Tehran Branch, Tehran, Iran

****Geological Survey of Iran, Tehran, Iran

Received: 2008 March 10 Accepted: 2008 September 30

Abstract

Hired area is located in the northeastern border of Lut zone and western vicinity of Sistan suture zone. Northern part of Sistan suture zone trending NW-SE with complicated structure is the locality of several considerable ore deposits. We have employed aeromagnetic data, satellite images and field observations to consider the relation of surface and subsurface structures to the significant superficial structural features of Hired mining area. Aeromagnetic data were processed by applying appropriate filters including Reduction to pole and First vertical derivative for proper distinguishing the magnetic features. In addition, highpass filters were used for edge sharpening of the ASTER images. Aeromagnetic data have shown two main N-S and NW-SE structural directions which follow the northern Sistan suture zone. Presence of mineralized and altered veins and brittle shear zones with the same trend around the fractures is noticeable. Moreover, fractures intersections and conjuncture places are dramatically compatible with mineralization areas. Another result from aeromagnetic data is identification of a circular structure in the east of study area. The gold mineralization has occurred in the west part of mentioned structure which is strongly affected by NNW striking features. Satellite images in addition to confirmation of aforesaid structural trends imply a third structural NE-SW strike. This structure is not vivid on the aeromagnetic map and has only an ambiguous trace on it. Our field measurements verify this new structural trend as well.

Key words: Hired, Sistan suture zone, Aeromagnetics, Structural geology, Magnetic lineament

For Persian Version see pages 121 to 126

E-mail: ghorbanitc@yahoo.com

Structural Geometry of Taleqan Mountains; an Evidence for Structural Evolution of South Central Alborz Range from Inversion to Transpression Tectonics

By: S.Madanipour* & A.Yassaghi*

*Department of Geology, Tarbiat Modares University

Received: 2008 January 22 Accepted: 2008 November 17

Abstract

Taleqan Mountains located in South-Central Alborz range accommodate one of the best stratigraphic sequences of the range. The area bounded by the Taleqan fault in the north and the Mosha fault in the south. These faults separate Paleozoic-Mesozoic rocks from southern and northern Tertiary rocks. In this paper structural geometry of these faults is analyzed to unravel structural evolution of the range which interpreted to be initiated as inversion tectonics then followed by transpression tectonics. The Mosha fault in the eastern part of the